

## I-21 Tidal Residual Circulationに関する実験的研究

慶應大学 工学部 正員 ○楳口 明生

・ ・ 柳 勝雄

京都大学防災研究所

柏 久 誠

沿岸海洋においては、一般に潮流によつて移動する水粒子は、一周期間に水の位置に戻らざる。これは、流れの中の恒流成分によるものと考えられる。水粒子の位置と、一周期後の位置との差がベクトルでは、オイラー流に測定した流速より、一周期間の平均値（ハヤウカ恒流）と、ラグランジエ流に表現したものと見えられる。これで、Tidal Residue と呼ぶ。

恒流の成因としては、風、波、流入河川水、気圧傾度、潮流、密度差、地球自轉等の因子に、沿岸・海底地形に基く潮流の偏りが上づけられる。このようない恒流は、沿岸海洋における物質の移動に深い関わり合ひを持つから、実用上からも重要なものである。

現地観測の結果によると、島や沿岸の近く、湾口が狭く捕つたいたい湾、流れの激しい狭い水道などに弱い恒流が見られると報じられていく。また、水理模型実験の結果では、海峡、岬や島の近く等に見られることが明らかにされている。

こゝでは、実験により結果をより明確にするために、単純な地形について水理実験を行ひ、恒流の発生と種特の機構を明らかにしようとした。

長さ11m、幅5mの水槽の中央付近に、右側の壁から左側の門から残り4mをコンクリートブロックで仕切り、幅1mの湾口をもつ $5 \times 5$ m<sup>2</sup>正方形の湾（水深10cm）を作り、バードフランジャー式起潮機で浪高8.7mm、周期6分の正弦波を走らせる、浮標と床材（フレオレッサンソーダ）を動かす写真撮影により追跡した。

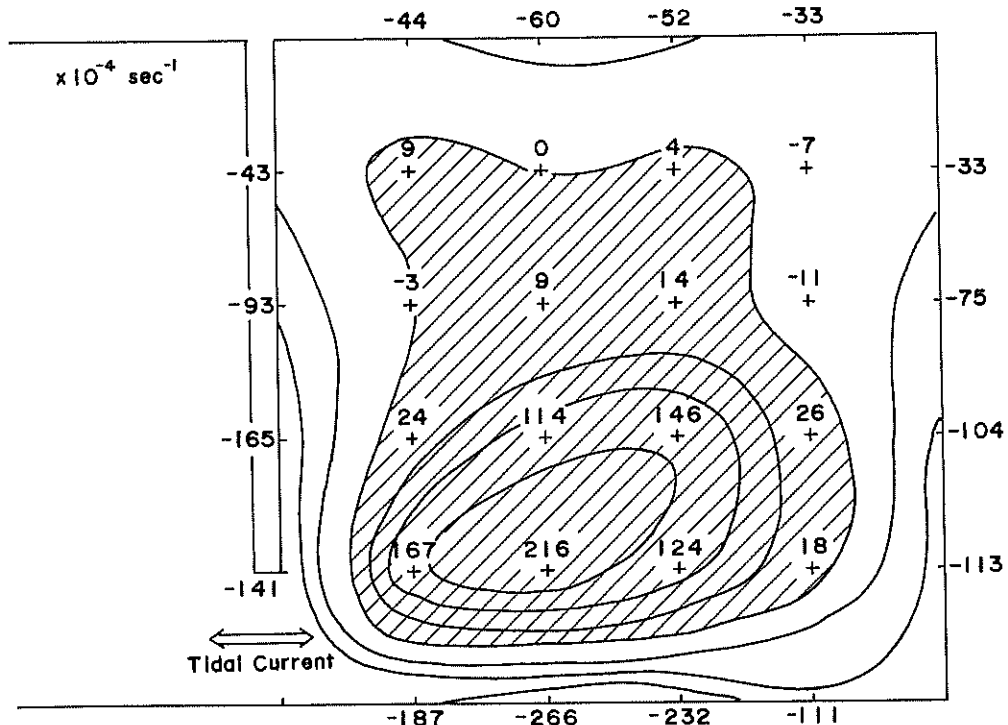
起潮機を動かして、最初の上げ潮時に湾口部に生じた渦口、時間の経過とともに次第に発達して、5周期目位には湾全体に左回り（湾口の位置によると）の環流となり安定する。これをTidal Residual Circulationと呼ぶ。この場合、流れは一般に潮流として想像されたりよりも往復流と見らす、潮汐の最高に生じた渦口から入り、逆に一方向に流れ、憩流と見らす。

この実験水槽は、中央部の仕切りでは対称的に区切られていくなり、湾外ドロこれと対称的な逆（右）回りの環流が生ずる。

湾口および湾内中央の横断面上で行った測流結果によると、湾口では、上げ潮、下り潮とも、時間的には正弦的に変化する複数の潮流が存在するが、中央線上では、湾口に近い壁から左回り、湾口から奥に向かう弱い流れが他の幅の中で壁に半周して走り、それ以外の所では湾口に向かう弱い流れが幅広く分布することがわかった。すなわち、流れの逆転する位置、すなわち、流速ゼロの点は、潮汐の最高によって変化するが認められた。このように流速分布中は、複数の環流の存在を示していく。また、床材を減らして調べた結果によると、正方形の角は小さく右回りの渦の存在が認められた。

湾内を1m間隔の格子で区切り、各格子内の相流の平均値から、格子点での渦度（反時計回りを正とする）を求めるかと下図のようにした。図によると、湾の中央部に正の渦度が存在し、下半分に弱い渦度が見られる。また、周辺部には負の渦度が存在する。

いま、水平2次元的に考えることにして、静水圧分布を仮定し、1次の摩擦抵抗を考え、地球自轉の効果を無視



すとし、鉛直平均流に因する基本式は下のようになります。ただし、ここで、流速の鉛直分布に因する係数は1としました。

$$\left. \begin{aligned} \frac{\partial u}{\partial t} + u \frac{\partial u}{\partial x} + v \frac{\partial u}{\partial y} &= -g \frac{\partial \bar{u}}{\partial x} + \nu \left( \frac{\partial^2 u}{\partial x^2} + \frac{\partial^2 u}{\partial y^2} \right) - R_u u \\ \frac{\partial v}{\partial t} + u \frac{\partial v}{\partial x} + v \frac{\partial v}{\partial y} &= -g \frac{\partial \bar{v}}{\partial y} + \nu \left( \frac{\partial^2 v}{\partial x^2} + \frac{\partial^2 v}{\partial y^2} \right) - R_v v \end{aligned} \right\} \quad (1)$$

$$\frac{\partial h}{\partial t} + \frac{\partial}{\partial x} (hu) + \frac{\partial}{\partial y} (hv) = 0 \quad (2)$$

ここで  $\nu$  は抵抗係数である。

恒流に因する量に  $\bar{u}$ , 潮流に因する量に  $\bar{v}$  とおき,  $u = \bar{u} + u'$ ,  $v = \bar{v} + v'$ ,  $h = \bar{h} + h'$  で表わすことになります。これらの式から、恒流に因する渦度方程式は下のようになります。

$$\bar{u} \frac{\partial \bar{w}}{\partial x} + \bar{v} \frac{\partial \bar{w}}{\partial y} + F = \nu \left( \frac{\partial^2 \bar{w}}{\partial x^2} + \frac{\partial^2 \bar{w}}{\partial y^2} \right) - R_w w \quad (3)$$

ここで  $w$  は渦度を表わし,  $w = \bar{w} + w'$ ,  $F = \bar{w}' \partial \bar{w} / \partial x + \bar{v}' \partial \bar{w} / \partial y + Q' w'$ ,  $Q' = \partial \bar{u} / \partial x + \partial \bar{v} / \partial y$  である。

この式は、潮流の非線形現象により発生した渦度  $w$ , 恒流による移流と水平・垂直の粘性選散と釣り合っていふことを示しています。

図に示した渦度分布は、内部領域では渦度が保存され、境界領域で遮断していかることを示していふと思われますが、詳細についにはまだ十分吟味すべきです。今後さらに解析をすすめ、実験資料から渦度方程式の各項の詳細を行はず、その機構を明らかにする必要がある。